

---

Don ce contre-exemple démontre que :**Next-Fit** : non optimal; **Worst-Fit** : non optimal; **Best-Fit** : optimal et **First-Fit** : optimal.

### 1.3 Complexité d'une solution par recherche exhaustive

---

**Algorithm 1** Tree-Search-BF( $T, k$ )

---

```
1: Input: Un arbre binaire de recherche  $T$  et une clé  $k$ 
2: Output: La plus petite clé  $\geq k$  dans l'arbre  $T$ 
3:  $\text{node} \leftarrow T.\text{root}$ 
4:  $\text{successor} \leftarrow \text{NIL}$ 
5: while  $\text{node} \neq \text{NIL}$ 
6:   if  $\text{node.key} \geq k$ 
7:      $\text{successor} \leftarrow \text{node}$ 
8:      $\text{node} \leftarrow \text{node.left}$ 
9: return  $\text{successor}$ 
```

---

Le pire cas se produit lorsque l'arbre est déséquilibré, ce qui peut se produire dans deux scénarios typiques : l'arbre dégénéré vers la droite c'est-à-dire chaque nœud n'a qu'un enfant à droite, formant une "liste" avec tous les nœuds alignés sur la droite ou l'arbre dégénéré vers la gauche c'est-à-dire chaque nœud n'a qu'un enfant à gauche, formant également une "liste" avec tous les nœuds alignés sur la gauche. La complexité dans le pire cas est donc  $O(N)$ . Et si l'arbre est équilibré, cette complexité devient  $O(\log N)$ .

### 1.4 Le pseudo-code de la fonction Tree-Search-FF( $T, \text{size}$ ) et analyse de sa complexité en temps au pire cas :

---

**Algorithm 2** Tree-Search-FF( $T, \text{size}$ )

---

```
1: Input: Un arbre binaire de recherche  $T$ , taille du fichier  $\text{size}$ 
2: Output: Le premier disque pouvant contenir le fichier (nœud  $x$  tel que  $x.\text{space} \geq \text{size}$ )
3: if  $x == \text{NIL}$  or  $x.\text{maxspace} < \text{size}$ 
4:   return  $\text{NIL}$ 
5:  $r = \text{Tree-Search-FF}(x.\text{left}, \text{size})$ 
6: if  $r \neq \text{NIL}$ 
7:   return  $r$ 
8: if  $x.\text{space} \geq \text{size}$ 
9:   return  $x$ 
10: return  $\text{Tree-Search-FF}(x.\text{right}, \text{size})$ 
```

---

Appel initial : **Tree-Search-FF**( $T.\text{root}, \text{size}$ ).

Même si l'algorithme optimise la recherche grâce au champ  $x.\text{maxspace}$ , dans le pire des cas, il devra parcourir tous les nœuds de l'arbre. Cela se produit si  $x.\text{maxspace} \geq \text{size}$  pour tous les nœuds. Et si l'arbre est *dégénéré* (par exemple, tous les nœuds n'ont qu'un enfant à gauche ou à droite), il se comporte comme une liste chaînée.

Par conséquent, la complexité en temps dans le pire cas est :  $O(N)$ , où  $N$  est le nombre total de nœuds (disques) dans l'arbre. Et si l'arbre est équilibré, cette complexité devient  $O(\log N)$ .

### 1.5 Analyse la complexite en temps au pire cas des quatre algorithmes

Pour toutes les stratégies, les fichiers sont stockés dans une liste chaînée, triés en  $O(N \log N)$ . Les disques sont stockés :

- dans une structure linéaire (une liste chaînée) pour **Next-Fit**,

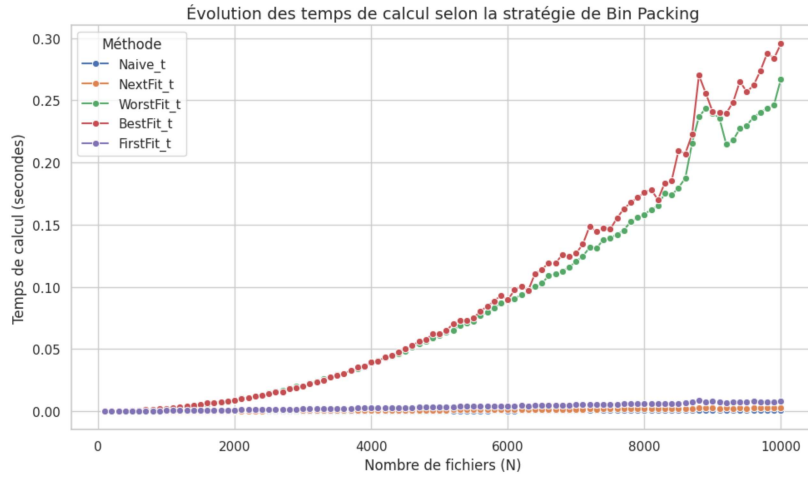


Figure 2: Évolution des temps de calcul selon la stratégie de Bin Packing

Comme attendu, les méthodes **Naive**, **Next-Fit** et **First-Fit** présentent des temps de calcul très faibles, même pour un grand nombre de fichiers. Cela est cohérent avec leur complexité algorithmique faible (souvent linéaire). En revanche, les méthodes **Best-Fit** et **Worst-Fit** nécessitent un parcours plus coûteux de la liste des disques à chaque insertion, ce qui se traduit par un temps de calcul croissant plus rapidement avec  $N$ . Cette observation est en accord avec la complexité théorique plus élevée de ces algorithmes (souvent  $O(n \cdot m)$ , où  $m$  est le nombre de disques ouverts et  $n$  représente le nombre de fichiers à insérer dans les disques).

Par conséquent, les résultats empiriques confirment la validité de l'analyse théorique. Les algorithmes **Next-Fit**, **First-Fit**, et **Naive** sont rapides (temps de calcul faible) mais peuvent être moins efficaces en termes de gaspillage. **Best-Fit** et **Worst-Fit** présentent des temps de calcul plus élevés, ce qui est attendu étant donné leur complexité plus élevée ( $\mathcal{O}(N \log N)$ ).